

FAG

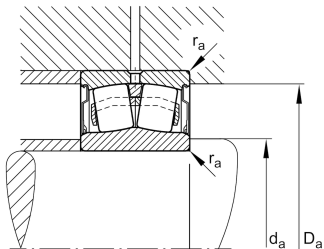
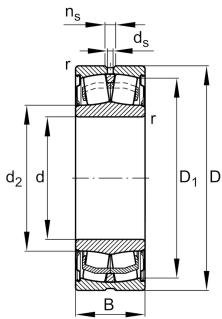
**WS22215-E1-XL-2RSR-C3** [↗](#)

Rodamiento oscilante de rodillos

Rodamientos oscilantes de rodillos, obturados WS222...-E1, obturaciones de labio en ambos lados, para instalaciones de colada continua

X-life

## Información técnica



## Variante de su producto actual

Ejecución	E1	Sin borde central
Tipo de agujero	Z	Cilíndrico
Jaula	JPA	Jaula de chapa de acero
Juego radial del rodamiento	C3 (Group 3)	Internal clearance larger than CN
Función de relubricación	Norma	Estándar
Obturaciones	2RSR	Seals on both sides, normal temperature
Obturación - exceso de anchura	WS	Obturación - anchura excesiva

## Medidas principales y datos de rendimiento

d	75 mm	Diámetro del agujero
D	130 mm	Diámetro exterior
B	38 mm	Anchura
$C_r$	216.000 N	Capacidad de carga dinámica, radial
$C_{0r}$	237.000 N	Capacidad de carga estática, radial
$C_{ur}$	30.500 N	Límite de carga por fatiga, radial
$n_G$	1.630 1/min	Velocidad límite de rotación
$\approx m$	1,99 kg	Peso



### Medidas de montaje

$d_{a \min}$	84 mm	Diámetro mínimo resalte del eje
$D_{a \max}$	121 mm	Diámetro máximo del resalte del alojamiento
$r_{a \max}$	1,5 mm	Radio máximo de la ranura

### Medidas

$r_{\min}$	1,5 mm	Medidas mínimas del chaflán
$D_1$	120,2 mm	Diámetro del agujero del anillo exterior
$d_2$	85,6 mm	Diámetro de la pista de rodadura del anillo interior
$d_s$	3,2 mm	Diámetro del agujero de engrase
$n_s$	6,5 mm	Anchura de la ranura de lubricación

### Rango de temperatura

$T_{\min}$	-30 °C	Temperatura mín. de funcionamiento
$T_{\max}$	100 °C	Temperatura máx. de funcionamiento

### Factores de cálculo

$e$	0,22	Valor límite de $F_a/F_r$ para la aplicabilidad de dif. Valores de los factores X e Y
$Y_1$	3,1	Factor de carga axial dinámica
$Y_2$	4,62	Factor de carga axial dinámica
$Y_0$	3,03	Factor de carga axial estática



### Características

---



Carga radial



Carga axial en un sentido



Carga axial en ambos sentidos



Lubricación de por vida, ausencia de mantenimiento



Lubricación con grasa



Obturado en ambos lados



Errores de alineación estáticos



Errores de alineación dinámicos